

抗がん剤候補化合物 MF4426 結合タンパク質の同定

矢島 知佳^{*1}, 横山 智哉子^{*2}, 久富 寿^{*3}

Identification of the anticancer agent candidate compound MF4426 binding protein

Chika YAJIMA^{*1}, Chikako YOKOYAMA^{*2}, Hisashi HISATOMI^{*3}

(Received May 31 2016)

1. 背景

がん治療には、手術療法・化学療法・放射線療法がある。化学療法である抗がん剤治療は、頻繁な細胞増殖を伴うがん細胞においてDNA合成阻害による細胞増殖抑制を主要目的とする。しかし、既存の抗がん剤はがん細胞特異的に作用しないため、同時に正常細胞へも細胞毒性を誘発する^{1,2)}。当研究室では、培養細胞において正常細胞に影響が少なく、がん細胞に細胞増殖抑制能を示す抗がん剤候補化合物MF4426を開発した。既存の抗がん剤と比べ、MF4426 はがん細胞特異的に作用するため、がん細胞に対する高い抗腫瘍効果が示唆されている。本研究では、MF4426 結合タンパク質の同定により、細胞増殖抑制能の機序解明を目的とした。核酸医薬や抗体医薬によるターゲット因子の活性阻害に起因した細胞増殖抑制が可能となり、さらなる新規抗がん剤候補化合物の創造も期待できる。ヒト大腸がん細胞株DLD-1 タンパク質抽出液において、MF4426 結合タンパク質調査の結果から、約 200 kDa付近と約 90 kDa付近にMF4426 と特異的な結合タンパク質を確認した。MS解析の結果をもとに、信憑性の高いタンパク質を選別し、強制発現とノックダウンによりMF4426 結合タンパク質の同定を試みた。

2. 材料と方法

MF4426 とタンパク質を結合させるため、Gelatinコート処理後の 100 mm dishにMF4426 溶液を添加した。16 時間後、MF4426 溶液を洗浄し、DLD-1 タンパク抽出溶液を 3 mL添加した。16 時間後、沈殿物と上清をそれぞれ回収

した。沈殿物および上清をポリアクリルアミドゲル電気泳動 (SDS-PAGE) し、結合タンパク質を可視化した。電気泳動後のゲルをCoomassie Brilliant Blue (CBB) で染色し、40% メタノール/ 10% 酢酸で 3 時間以上洗浄した。MF4426 が標的とするバンドのゲル断片をメスで切り取り、タンパク質を抽出した。抽出した溶液をEASY-nLC 1000 Liquid Chromatograph (Thermo Scientific™) によりLC/MS/MS解析した。解析結果より、スペクトル数を表すSp値が高いMYH9 とMYH14 を約 200 kDaの結合タンパク質候補とした。結合タンパク質候補のplasmidをScreenFect™ A (Wako) を用いて、ヒト胎児腎細胞株HEK293Tに強制発現した^{3,4)}。24 時間培養後、MF4426 およびCamptothecinを 20 μM投与した。投与後 48 時間後でのMF4426 投与による細胞増殖の有無を観察した。また、Accumax (funakoshi) を用いて剥離した細胞数をトーマ血球計算盤により測定した。次に、結合タンパク質候補のsiRNAをHEK293T細胞に導入し、ノックダウンした⁵⁾。48 時間培養後、既存の抗がん剤およびMF4426 10 μM投与し、強制発現と同様に 48 時間後のMF4426 投与による細胞増殖の有無をおよび細胞数を測定した。

3. 結果

MYH9 およびMYH14 強制発現細胞にMF4426 を投与し、48 時間後の細胞状態の変化を観察した。その結果から、MYH9 強制発現細胞において、顕著な細胞増殖抑制能の緩和が確認された。また、MYH14 強制発現細胞において、MF4426 の細胞増殖抑制能による細胞死が確認された (Fig 1. A)。MYH9 ノックダウン細胞にMF4426 を投与し、48 時間後の細胞状態の変化を観察した。その結果から、MYH9 ノックダウン細胞において、細胞増殖抑制能による細胞死の誘発が確認された (Fig 1. B)。

*1: 理工学研究科理工学専攻博士前期課程

*2: 物質生命理工学科 助教

*3: 物質生命理工学科 教授(hisatomi@st.seikei.ac.jp)

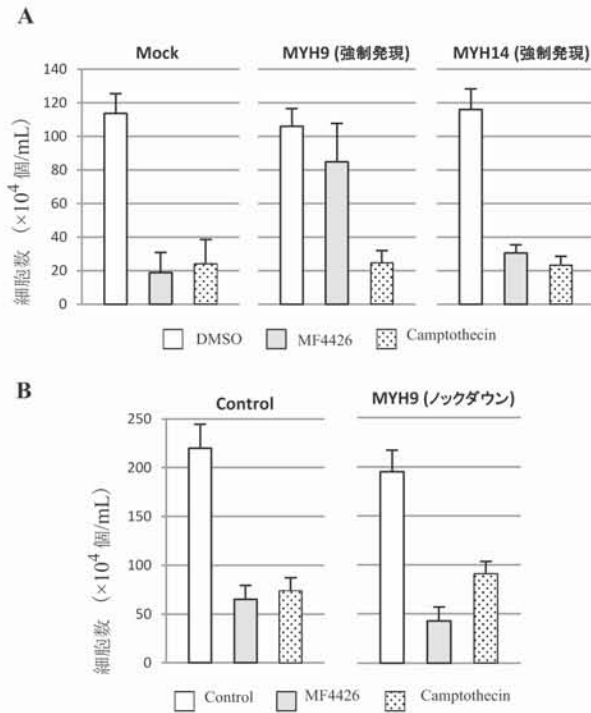


Fig 1. 抗がん剤およびMF4426 投与後 48 時間の細胞数
 A; MYH9 およびMYH14 強制発現細胞にMF4426 を 20 μ M 投与
 B; MYH9 ノックダウン細胞にMF4426 を 10 μ M 投与

4. 考察

MF4426 投与後 48 時間の細胞状態の観察により、MYH9 強制発現細胞において顕著な細胞増殖抑制能の緩和が確認された。一方、MYH14 強制発現細胞においては、MF4426 の細胞増殖抑制能による細胞死が確認された。これらの結果から、MYH9 強制発現細胞において、MF4426 と MYH9 の結合による MF4426 の核移行の阻害により、MF4426 投与による細胞増殖抑制能の緩和が推測された。また、MYH14 強制発現細胞においては、MF4426 と MYH14 の未結合により、MF4426 の核移行が阻害されず、MF4426 の細胞増殖抑制能による細胞死が推測された。MYH9 ノックダウン細胞において、MF4426 投与後 48 時間の細胞状態の観察により、細胞増殖抑制能による細胞死の誘発が確認された。この結果から、MYH9 と未結合の MF4426 増加による MF4426 の核移行により、細胞増殖抑制能による細胞死の誘発が推測された。本研究では、MYH9 を約 200 kDa の MF4426 結合タンパク質と決定した。しかし、MYH9 は MF4426 の核移行を阻害しているが、直接的に MF4426 の細胞増殖抑制能に関与しているとは考えにくい。今後は、細胞の核内に

において MF4426 の細胞増殖抑制能と関与する約 90 kDa のタンパク質の同定が必要である。

参考文献

- 1) Press MF, Sauter G, Buyse M, *et al.* : Alteration of topoisomerase II-alpha gene in human breast cancer: association with responsiveness to anthracycline-based chemotherapy. *J Clin Oncol*, 49: 859-867, 2011
- 2) Sinha BK, Kumar A, Bhattacharjee S, *et al.* : Effect of nitric oxide on the anticancer activity of the topoisomerase-active drugs etoposide and adriamycin in human melanoma cells. *J Pharmacol Exp Ther*, 14: 607-14, 2013
- 3) Katono K, Sato Y, Jiang SX, *et al.* : Prognostic significance of MYH9 expression in resected non-small cell lung cancer. *Plos One*, 3: e0121460, 2015
- 4) De Rocco D, Zieger B, Platokouki H, *et al.* : MYH9-related disease: five novel mutations expanding the spectrum of causative mutations and confirming genotype/phenotype correlations. *Eur J Med Genet*, 56: 7-12, 2013
- 5) Liang S, He L, Zhao X, *et al.* : MicroRNA let-7f inhibits tumor invasion and metastasis by targeting MYH9 in human gastric cancer. *Plos One*, 4: e18409, 2011